

求解大规模线性规划问题 的HPR方法¹

孙德锋 讲座教授

应用数学系
香港理工大学



¹Kaihuang Chen, Defeng Sun, Yancheng Yuan, Guojun Zhang, and Xinyuan Zhao. "HPR-LP: An implementation of an HPR method for solving linear programming." arXiv:2408.12179 (August 2024; Revised March 2025).

目录

- 1. 线性规划 (LP) 简介**
- 2. 凸优化：加速的预条件ADMM算法 (pADMM)**
- 3. 线性规划：Halpern Peaceman-Rachford算法**
- 4. 数值结果**
- 5. 总结和展望**

1. 线性规划模型及其对偶模型

(P)

$$\begin{aligned} & \min_{x \in \mathbb{R}^n} \langle c, x \rangle \\ \text{s.t. } & A_1 x = b_1 \\ & A_2 x \geq b_2 \\ & x \in \mathcal{C} \end{aligned}$$

(D)

$$\begin{aligned} & \min_{y \in \mathbb{R}^m, z \in \mathbb{R}^n} -\langle b, y \rangle + \delta_{\mathcal{D}}(y) + \delta_{\mathcal{C}}^*(-z) \\ \text{s.t. } & A^* y + z = c \end{aligned}$$

其中: $A_1 \in \mathbb{R}^{m_1 \times n}, A_2 \in \mathbb{R}^{m_2 \times n}, b_1 \in \mathbb{R}^{m_1}, b_2 \in \mathbb{R}^{m_2}, c \in \mathbb{R}^n$

$\mathcal{C} := \{x \in \mathbb{R}^n | l \leq x \leq u\}, l \in (\mathbb{R} \cup \{-\infty\})^n, u \in (\mathbb{R} \cup \{+\infty\})^n$

$A := [A_1; A_2] \in \mathbb{R}^{m \times n}, m = m_1 + m_2, b := [b_1; b_2] \in \mathbb{R}^m$

$D := \{y = (y_1, y_2) \in \mathbb{R}^{m_1} \times \mathbb{R}_+^{m_2}\}$

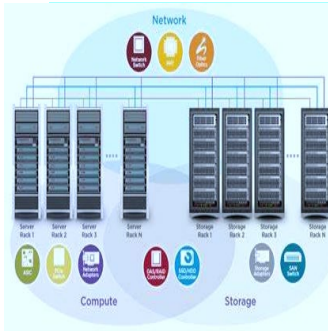


线性规划问题的应用



生产计划

通过合理安排生产计划，优化资源配置，提高生产效率



数据中心资源分配

合理分配有限资源，满足各种需求，提高资源利用效率



物流运输

优化运输路线和运输方式，降低运输成本



金融投资

在风险和受益的约束下，制定最优投资组合方案

Q：线性规划问题是否已经得到解决？

LP算法及求解器现状

01 LP算法：

- ✓ 基变换算法：单纯形方法 (George Dantzig, 1947)
- ✓ 椭球算法 (Khachiyan, 1979)
- ✓ 内点法：Karmarkar 算法 (1984)
- ✓ 分裂算法：将大规模问题分解为若干小规模问题，分别求解再整合

02 LP求解器：

- ✓ 商业求解器：Gurobi, Cplex (IBM), Mosek, COPT (杉树), MindOpt (阿里云), OptVerse (华为天筹)
- ✓ 开源求解器：SCIP (ZIB), GLOP (Google), JuMP, CLP (COIN-OR)



相关研究进展

- 虽然上个世纪五十年代开始就用一阶方法求解线性规划的，但是在数值计算方面并没能很好的解决这一问题。
- 最近，由于大规模线性规划问题的涌现，这一问题又开始成为研究热点：

01

SCS

算子分裂/ADMM算法 [O'Donoghue, Chu, Parikh, Boyd, 2016]

02

ABIP

基于ADMM的内点方法 [Lin et al., 2021], [Deng et al., 2024]

03

SNIPAL

半光滑牛顿-增广拉格朗日法 [Li, Sun, Toh, 2020]

04

ECLIPSE

Nesterov's 加速梯度法 [Basu, Ghoting, Mazumder, Pan, 2020]

05

PDLP

原始-对偶混合梯度法 [Applegate et al., 2021]



大规模LP问题的挑战

- **计算复杂度**: LP问题规模越来越大，求解时间过长，甚至无法接受
- **存储限制**: 大规模LP问题需要大量内存来存储模型数据、参数和中间结果（嵌入式系统或者移动设备内存有限）
- **求解效率**: 优化算法、并行计算与分布式技术还存在挑战

需要高效的优化算法，克服内存限制的
瓶颈，降低计算复杂度，提高求解效率



2. 凸优化问题：加速的预条件ADMM算法² (pADMM)

-- Preconditioned (Semi-Proximal) ADMM

凸优化问题(COP)



$$\begin{aligned} & \min_{y \in \mathbb{Y}, z \in \mathbb{Z}} && f_1(y) + f_2(z) \\ & \text{s. t.} && B_1 y + B_2 z = c \end{aligned}$$

对偶问题(COD)



$$\max_{x \in \mathbb{X}} \{-f_1^*(-B_1^*x) - f_2^*(-B_2^*x) - \langle c, x \rangle\}$$

其中： $\mathbb{X}, \mathbb{Y}, \mathbb{Z}$ ：有限维实欧式空间

$f_1 : \mathbb{Y} \rightarrow (-\infty, +\infty]$, $f_2 : \mathbb{Z} \rightarrow (-\infty, +\infty]$ ：正常闭凸函数

$B_1 : \mathbb{Y} \rightarrow \mathbb{X}$, $B_2 : \mathbb{Z} \rightarrow \mathbb{X}$ ：线性算子, $c \in \mathbb{X}$

²Defeng Sun, Yancheng Yuan, Guojun Zhang, and Xinyuan Zhao. "Accelerating preconditioned ADMM via degenerate proximal point mappings." SIAM J Optimization SIAM J. Optimization 35:2 (2025) 1165–1193.

凸优化方法

- 增广拉格朗日函数: $\forall (y, z, x) \in \mathbb{Y} \times \mathbb{Z} \times \mathbb{X}$,

$$L_\sigma(y, z; x) := f_1(y) + f_2(z) + \langle x, B_1 y + B_2 z - c \rangle + \frac{\sigma}{2} \|B_1 y + B_2 z - c\|^2$$

- 两个算子 Σ_{f_1} 和 Σ_{f_2} 满足:

- 对于任意 $y, \hat{y} \in \text{dom}(f_1)$, $\phi \in \partial f_1(y)$ 和 $\hat{\phi} \in \partial f_1(\hat{y})$

$$f_1(y) \geq f_1(\hat{y}) + \langle \hat{\phi}, y - \hat{y} \rangle + \frac{1}{2} \|y - \hat{y}\|_{\Sigma_{f_1}}^2, \quad \langle \phi - \hat{\phi}, y - \hat{y} \rangle \geq \|y - \hat{y}\|_{\Sigma_{f_1}}^2$$

- 对于任意 $z, \hat{z} \in \text{dom}(f_2)$, $\varphi \in \partial f_2(z)$ 和 $\hat{\varphi} \in \partial f_2(\hat{z})$

$$f_2(z) \geq f_2(\hat{z}) + \langle \hat{\varphi}, z - \hat{z} \rangle + \frac{1}{2} \|z - \hat{z}\|_{\Sigma_{f_2}}^2, \quad \langle \varphi - \hat{\varphi}, z - \hat{z} \rangle \geq \|z - \hat{z}\|_{\Sigma_{f_2}}^2$$

算法1. 求解凸优化问题的pADMM³算法

输入：选择 $\mathcal{T}_1 (\geq 0), \mathcal{T}_2 (\geq 0)$ 满足

$$\Sigma_{f_1} + B_1^* B_1 + \mathcal{T}_1 > 0, \Sigma_{f_2} + B_2^* B_2 + \mathcal{T}_2 > 0$$

选择 $w^0 = (y^0, z^0, x^0)$. 令 $\sigma > 0, \rho \in (0, 2]$

$k = 0, 1, \dots,$

1. $\bar{w}^{k+1} = \text{UpdateStep}(w^k, \mathcal{T}_1, \mathcal{T}_2, \sigma)$:

$$\begin{cases} \bar{z}^{k+1} = \operatorname{argmin}_{z \in \mathbb{Z}} \left\{ L_\sigma(y^k, z; x^k) + \frac{\sigma}{2} \|z - z^k\|_{\mathcal{T}_2}^2 \right\} \\ \bar{x}^{k+1} = x^k + \sigma(B_1 y^k + B_2 \bar{z}^{k+1} - c) \\ \bar{y}^{k+1} = \operatorname{argmin}_{y \in \mathbb{Y}} \left\{ L_\sigma(y, \bar{z}^{k+1}; \bar{x}^{k+1}) + \frac{\sigma}{2} \|y - y^k\|_{\mathcal{T}_1}^2 \right\} \end{cases}$$

2. $w^{k+1} = (1 - \rho)w^k + \rho \bar{w}^{k+1}$

- 相关文献: ADMM^{4, 5}, 广义ADMM⁶, 半邻近ADMM⁷
- $\rho = 2$: 半邻近Peaceman-Rachford (PR)算法

³Xiao, Chen, and Li. Math. Program. Comput. (2018): 533-555.

⁴Glowinski and Marroco. Revue française d'automatique, informatique, recherche opérationnelle. Analyse numérique (1975): 41-76.

⁵Gabay and Mercier. Comput. Math. Appl. (1976): 17-40.

⁶Eckstein and Bertsekas. Math. Program. (1992): 293-318.

⁷Fazel, Pong, Sun, and Tseng. SIAM J. Matrix Anal. Appl. (2013): 946-977.

pADMM算法求解LP

- LP的增广拉格朗日函数:

$$L_{\sigma}^{LP}(y, z; x) := -\langle b, y \rangle + \delta_D(y) + \delta_C^*(-z) + \langle x, A^*y + z - c \rangle + \frac{\sigma}{2} \|A^*y + z - c\|^2$$

算法2. pADMM-LP算法

输入: 选择 $\mathcal{T}_1 (\geq 0)$ 满足 $\mathcal{T}_1 + AA^* > 0$, $w^0 = (y^0, z^0, x^0) \in D \times \mathbb{R}^n \times \mathbb{R}^n$
 令 $\sigma > 0, \rho \in (0, 2]$

$k = 0, 1, \dots,$

1. $\bar{w}^{k+1} = \text{UpdateStep}(w^k, \mathcal{T}_1, \sigma)$:

$$\begin{cases} \bar{z}^{k+1} = \operatorname{argmin}_{z \in \mathbb{R}^n} \left\{ L_{\sigma}^{LP}(y^k, z; x^k) + \frac{\sigma}{2} \|z - z^k\|_{\mathcal{T}_2}^2 \right\} \\ \bar{x}^{k+1} = x^k + \sigma(A^*y^k + \bar{z}^{k+1} - c) \\ \bar{y}^{k+1} = \operatorname{argmin}_{y \in \mathbb{R}^n} \left\{ L_{\sigma}^{LP}(y, \bar{z}^{k+1}; \bar{x}^{k+1}) + \frac{\sigma}{2} \|y - y^k\|_{\mathcal{T}_1}^2 \right\} \end{cases}$$

2. $w^{k+1} = (1 - \rho)w^k + \rho\bar{w}^{k+1}$



表1 pADMM型算法复杂性现有结果

| 文献 | M&S(2013) ⁸ | D&Y(2016) ⁹ | Cui(2016) ¹⁰ |
|--------------------|-----------------------------|------------------------|-------------------------|
| 算法 | ADMM | ADMM | maj. ADMM |
| Dual step | 1 | 1 | $(0, (1 + \sqrt{5})/2)$ |
| Prim. feas. | $O(1/k)$ | $o(1/\sqrt{k})$ | $o(1/\sqrt{k})$ |
| Obj. err. | - | $o(1/\sqrt{k})$ | - |
| KKT res. | $O(1/k)$ <i>ε</i> -次微分残差 | - | $O(1/\sqrt{k})$ |
| Type | 遍历的 | 非遍历的 | 非遍历的 |

Chambolle和Pock^{11,12}: PDHG (线性化 ADMM) 在某种原始对偶间隙意义下享有 $O(1/k)$ 遍历复杂性 (可由原始可行性和目标误差推导)。然而, 这可能无法推出 KKT 残差达到期望的 $O(1/k)$ 。

Q: pADMM的KKT残差至多为 $O(1/\sqrt{k})$ 。如何加速pADMM使其达到 $O(1/k)$ 或更好?

⁸Monteiro and Svaiter. SIAM J. Optim. (2013): 475-507. (First version: August 2010).

⁹Davis and Yin. Splitting methods in communication, imaging, science, and engineering (2016): 115-163.

¹⁰Cui, Li, Sun, and Toh. J. Optim. Theory Appl. (2016): 1013-1041.

¹¹Chambolle and Pock. J. Math. Imaging Vis. (2011): 120-145. (Online: May 2010).

¹²Chambolle and Pock. Math. Program. (2016): 253-287.

算法思维导图

半邻近交替方向乘子法
preconditioned (semi-proximal) ADMM (pADMM)



加速的半邻近交替方向乘子法
accelerated pADMM



退化的邻近点法
degenerate proximal point method (dPPM)



**Halpern
迭代法**

加速的退化邻近点算法
accelerated dPMM

Karush-Kuhn-Tucker (KKT) 系统及其等价问题

01

(COP) 问题的 KKT 系统

$$-B_1^*x^* \in \partial f_1(y^*)$$

$$-B_2^*x^* \in \partial f_2(z^*)$$

$$B_1y^* + B_2z^* - c = 0$$

02

$$\forall w = (y, z, x) \in \mathbb{W} := \mathbb{Y} \times \mathbb{Z} \times \mathbb{X},$$

$$0 \in \mathcal{F}w = \begin{pmatrix} \partial f_1(y) + B_1^*x \\ \partial f_2(z) + B_2^*x \\ c - B_1y - B_2z \end{pmatrix} (\star)$$



假设 2.1

(KKT) 系统存在非空解集



退化邻近点算法

定义 2.1 [Bredies et al. (2022) ¹³]

算子 $\mathcal{T}: \mathbb{W} \rightarrow 2^{\mathbb{W}}$ 的**可接受的预条件算子** $M: \mathbb{W} \rightarrow \mathbb{W}$ 是线性、有界、自共轭、**半正定**的，满足

$$\hat{\mathcal{T}} = (M + \mathcal{T})^{-1}M$$

是单值的，且定义域为全空间。

退化邻近点算法 (degenerate PPM, dPPM):

$$\bar{w}^{k+1} = \hat{\mathcal{T}} w^k \quad [\Leftrightarrow 0 \in \mathcal{T}(\bar{w}^{k+1}) + M(\bar{w}^{k+1} - w^k)]$$

$$w^{k+1} = (1 - \rho)w^k + \rho\bar{w}^{k+1},$$

其中 $w^0 \in \mathbb{W}, \rho \in (0, 2]$

¹³Bredies, Chenchene, Lorenz, and Naldi. SIAM J. Optim. (2022): 2376-2401.



pADMM和dPPM的等价性

线性算子 $M: \mathbb{W} \rightarrow \mathbb{W}$:

$$M = \begin{bmatrix} \sigma B_1^* B_1 + \sigma \mathcal{T}_1 & 0 & B_1^* \\ 0 & \sigma \mathcal{T}_2 & 0 \\ B_1 & 0 & \sigma^{-1} I \end{bmatrix}$$

命题 2.1

若从相同初始点 $w^0 \in \mathbb{W}$ 出发，则pADMM(算法1)和dPPM算法生成的序列 $\{w^k\}$ 是一致的。此外， M 是可接受的预条件算子，且 $(M + \mathcal{T})^{-1}$ 是Lipschitz连续的。

加速dPPM算法

- 定义 $\hat{F}_\rho := (1 - \rho)I + \rho\hat{\mathcal{T}}$, 这里 $\rho \in (0,2]$, 算子 \hat{F}_ρ 是 M -非扩张的, 即

$$\|\hat{F}_\rho w - \hat{F}_\rho w'\|_M \leq \|w - w'\|_M, \quad \forall w, w' \in \mathbb{W}$$

算法3. 加速dPPM算法求解问题(★)

输入: 令 $w^0 \in \mathbb{W}, \rho \in (0,2]$

$k = 0, 1, \dots,$

$$1. \bar{w}^{k+1} = \hat{\mathcal{T}}w^k$$

$$2. \hat{w}^{k+1} = \hat{F}_\rho w^k = (1 - \rho)w^k + \rho\bar{w}^{k+1}$$

$$3. w^{k+1} = \frac{1}{k+2}w^0 + \frac{k+1}{k+2}\hat{w}^{k+1} \quad \text{Halpern迭代}^{14,15}$$

¹⁴Halpern, B. Bull. Am. Math. Soc. 73(6), 957–961 (1967)

¹⁵Lieder, F. Optim. Lett. 15(2), 405–418 (2021)

加速dPPM算法收敛性和复杂性

定理 2.1

若假设2.1 成立, M 是可接受预条件算子且 $(M + \mathcal{T})^{-1}$ 是连续的, 则由算法3产生的序列 $\{\bar{w}^k\}$ 收敛至KKT系统解集中一点 w^* 。

命题 2.2

若假设2.1 成立, M 是可接受预条件算子, 则由算法3产生的序列 $\{w^k\}$, $\{\hat{w}^k\}$ 满足

$$\|w^k - \hat{w}^{k+1}\|_M \leq \frac{2\|w^0 - w^*\|_M}{k+1}, \quad \forall k \geq 0, w^* \in \mathcal{T}^{-1}(0).$$

注¹⁶: 不加速的dPPM具有 $O\left(\frac{1}{\sqrt{k}}\right)$ 迭代复杂性相对于 $\|w^k - w^{k-1}\|_M$

¹⁶Brézis, Haim, and Pierre Louis Lions. Israel J. Math. (1978): 329-345.

3. Halpern-Peaceman-Rachford (HPR) 算法

算法4. 半邻近HPR方法求解LP

输入：选择 $\mathcal{T}_1 (\geq 0)$ 满足 $\mathcal{T}_1 + AA^* > 0$, $w^0 = (y^0, z^0, x^0) \in D \times \mathbb{R}^n \times \mathbb{R}^n$, $\sigma > 0$
 $k = 0, 1, \dots,$

1. $\bar{w}^{k+1} = \text{UpdateStep}(w^k, \mathcal{T}_1, \sigma)$:

$$\begin{cases} \bar{z}^{k+1} = \operatorname{argmin}_{z \in \mathbb{R}^n} \left\{ L_{\sigma}^{LP}(y^k, z; x^k) + \frac{\sigma}{2} \|z - z^k\|_{\mathcal{T}_2}^2 \right\} \\ \bar{x}^{k+1} = x^k + \sigma(A^* y^k + \bar{z}^{k+1} - c) \\ \bar{y}^{k+1} = \operatorname{argmin}_{y \in \mathbb{R}^n} \left\{ L_{\sigma}^{LP}(y, \bar{z}^{k+1}; \bar{x}^{k+1}) + \frac{\sigma}{2} \|y - y^k\|_{\mathcal{T}_1}^2 \right\} \end{cases}$$

2. $\hat{w}^{k+1} = 2\bar{w}^{k+1} - w^k$

3. $w^{k+1} = \frac{1}{k+2} w^0 + \frac{k+1}{k+2} \hat{w}^{k+1}$

定理 2.2 HPR方法求解LP问题复杂性

若假设2.1 成立, 令 $R_0 = \|w^0 - w^*\|_M$, 则由**算法4**产生的序列 $\{\bar{w}^k\}$ 满足

$$\begin{array}{ll} \text{原始不可行性} & \rightarrow \\ \text{互补松弛性} & \rightarrow \\ \text{对偶不可行性} & \rightarrow \end{array} \left\| \begin{pmatrix} \bar{y}^{k+1} - \Pi_D(\bar{y}^{k+1} - A\bar{x}^{k+1} + b) \\ \bar{x}^{k+1} - \Pi_C(\bar{x}^{k+1} - \bar{z}^{k+1}) \\ c - A^*\bar{y}^{k+1} - \bar{z}^{k+1} \end{pmatrix} \right\| \leq \left(\frac{\sigma(\|A\| + \|\sqrt{T_1}\|) + 1}{\sqrt{\sigma}} \right) \frac{R_0}{k+1}$$

$$\begin{array}{ll} \text{对偶目标} & \rightarrow \\ \text{函数误差} & \end{array} \left(\frac{-\|x^*\|}{\sqrt{\sigma}} \right) \frac{R_0}{k+1} \leq h^{LP}(\bar{y}^{k+1}, \bar{z}^{k+1}) \leq \left(3R_0 + \frac{\|x^*\|}{\sqrt{\sigma}} \right) \frac{R_0}{k+1}$$

这里, $h^{LP}(\bar{y}^{k+1}, \bar{z}^{k+1}) := -\langle b, \bar{y}^{k+1} \rangle + \delta_C^*(-\bar{z}^{k+1}) - (-\langle b, y^* \rangle + \delta_C^*(-z^*))$

算法5：HPR-LP算法求解线性规划问题(P)

1. 输入：选择 $\mathcal{T}_1 (\geq 0)$ 满足 $\mathcal{T}_1 + AA^* > 0$, $w^{0,0} := (y^{0,0}, z^{0,0}, x^{0,0}) \in D \times \mathbb{R}^n \times \mathbb{R}^n$
2. 初始化: 参数 $\sigma_0 > 0$ 和 $r = 0$
3. 外循环:
 - 3.1 内循环初始化 $t = 0$
 - 3.2 内循环 : $\bar{w}^{r,t+1} = \text{UpdateStep}(w^{r,t}, \mathcal{T}_1, \sigma_r)$
 $\hat{w}^{r,t+1} = 2\bar{w}^{r,t+1} - w^{r,t}$
 $w^{r,t+1} = \frac{1}{t+2}w^{r,0} + \frac{t+1}{t+2}\hat{w}^{r,t+1}$
 若满足**重启标准之一或者终止标准**, 输出: $w^{r+1,0} = \bar{w}^{r,t+1}$
 否则, $t = t + 1$
4. 若满足**终止标准**, 输出: $w^{r+1,0}$; 否则,

$$\sigma_{r+1} = \text{SigmaUpdate}(w^{r+1,0}, w^{r,0}, \mathcal{T}_1, A)$$
5. $r = r + 1$

HPR-LP重启标准

命题 2.2

若假设2.1 成立, M 是可接受预条件算子, 则由算法3(或4)产生的序列 $\{w^k\}$, $\{\hat{w}^k\}$ 满足

$$\|w^k - \hat{w}^{k+1}\|_M \leq \frac{2\|w^0 - w^*\|_M}{k + 1}, \quad \forall k \geq 0, w^* \in \mathcal{T}^{-1}(0).$$

基于KKT残差的 $O(1/k)$ 迭代复杂度, 定义评价函数:

$$R_{r,t} := \|w^{r,t} - w^*\|_M, \quad \forall r \geq 0, t \geq 0$$

用 $\tilde{R}_{r,t}$ 近似 $R_{r,t}$

$$\tilde{R}_{r,t} = \|w^{r,t} - \hat{w}^{r,t+1}\|_M$$

HPR-LP重启标准

$$\tilde{R}_{r,t} = \|w^{r,t} - \hat{w}^{r,t+1}\|_M$$

- 若 $\tilde{R}_{r,t}$ 充分下降：

$$\tilde{R}_{r,t} \leq \alpha_1 \tilde{R}_{r,0};$$

- 若 $\tilde{R}_{r,t}$ 必要下降 + “不单调”

$$\tilde{R}_{r,t} \leq \alpha_2 \tilde{R}_{r,0}, \quad \tilde{R}_{r,t+1} > \tilde{R}_{r,t};$$

- 内循环迭代过多：

$$t \geq \alpha_3 k,$$

其中 $\alpha_1 \in (0, \alpha_2)$, $\alpha_2 \in (0, 1)$, $\alpha_3 \in (0, 1)$ 。

HPR-LP: 更新 σ

$$\begin{aligned}\sigma_{r+1} &= \arg \min_{\sigma} \|w^{r+1,0} - w^*\|_M^2 \\ &= \arg \min_{\sigma} (\sigma \|y^{r+1,0} - y^*\|_{\mathcal{T}_1}^2 + \sigma^{-1} \|x^{r+1,0} - x^* + \sigma A^*(y^{r+1,0} - y^*)\|^2) \\ &= \sqrt{\frac{\|x^{r+1,0} - x^*\|^2}{\|y^{r+1,0} - y^*\|_{\mathcal{T}_1}^2 + \|A^*(y^{r+1,0} - y^*)\|^2}}\end{aligned}$$

在HPR-LP中如下近似更新 σ :

$$\sigma_{r+1} \approx \sqrt{\frac{\|x^{r+1,0} - x^{r,0}\|^2}{\|y^{r+1,0} - y^{r,0}\|_{\mathcal{T}_1}^2 + \|A^*(y^{r+1,0} - y^{r,0})\|^2}}$$

HPR-LP: 更新 σ -example

- 考慮特殊结构的LP，如最优运输问题¹⁷，令 $\mathcal{T}_1 = 0$

$$\sigma_{r+1} \approx \frac{\|x^{r+1,0} - x^{r,0}\|}{\|A^*(y^{r+1,0} - y^{r,0})\|}$$

- 考慮一般的LP，令 $\mathcal{T}_1 = \lambda I_m - AA^*$, $\lambda \geq \lambda_1(AA^*)$

$$\sigma_{r+1} \approx \frac{1}{\sqrt{\lambda}} \frac{\|x^{r+1,0} - x^{r,0}\|}{\|A^*(y^{r+1,0} - y^{r,0})\|}$$

- ¹⁷Zhang, Gu, Yuan, and Sun. "HOT: An Efficient Halpern Accelerating Algorithm for Optimal Transport Problems." IEEE Transactions on Pattern Analysis and Machine Intelligence (2025), in print.

4. 数值实验 (机器配置)

- HPR-LP : 用 Julia 语言实现的, 称为 HPR-LP.jl;
- cuPDLP.jl¹⁸ : 荣获国际奖的PDLP¹⁹求解器 的 GPU 版本, 用 Julia 语言实现;
- 所有实验均在 SuperServer SYS-420GP-TNR 上进行测试,
 - HPR-LP.jl 和 cuPDLP.jl : NVIDIA A100-SXM4-80GB [GPU](#), CUDA 12.3 .
 - Gurobi 11.0.3(教育版): Intel Xeon Platinum8338C [CPU](#) 2.60GHz, 内存 256GB。

¹⁸Lu and Yang. arXiv preprint arXiv:2311.12180 (2023).

¹⁹Applegate, D'iaz, Hinder, Lu, Lubin, O'Donoghue, and Schudy were awarded the [Beale–Orchard-Hays Prize](#) for Excellence in ISMP2024, July 21-26, 2024, Montréal, Canada.

终止准则和评价指标

➤ **终止准则 (Optimality):** HPR-LP (PDLP) 当满足下述条件时终止, $\varepsilon \in (0, \infty)$

- 相对对偶间隙 $|\langle b, y \rangle - \delta_C^*(-z) - \langle c, x \rangle| \leq \varepsilon(1 + |\langle b, y \rangle - \delta_C^*(-z) + \langle c, x \rangle|)$
- 相对原始不可行性 $\|\Pi_D(b - Ax)\| \leq \varepsilon(1 + \|b\|)$
- 相对对偶不可行性 $\|c - A^*y - z\| \leq \varepsilon(1 + \|c\|)$

➤ **SGM10评价指标:** 求解时间的移位几何均值

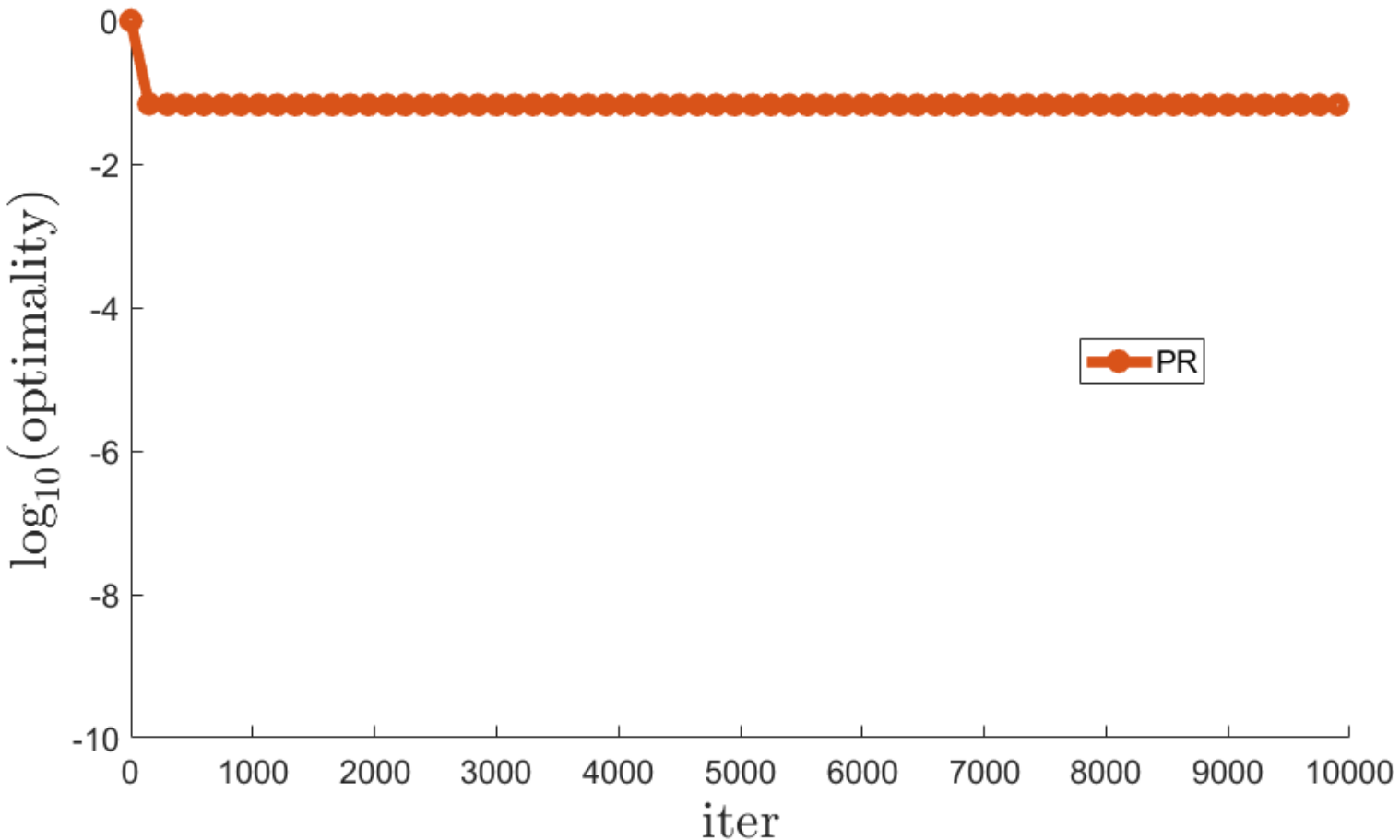
$$\left(\prod_{i=1}^n (t_i + 10) \right)^{1/n} - 10,$$

其中, t_i 是第 i 个实例的时间 (单位: 秒)

HPR重启策略效果

nug08-3rd问题（预处理后）：

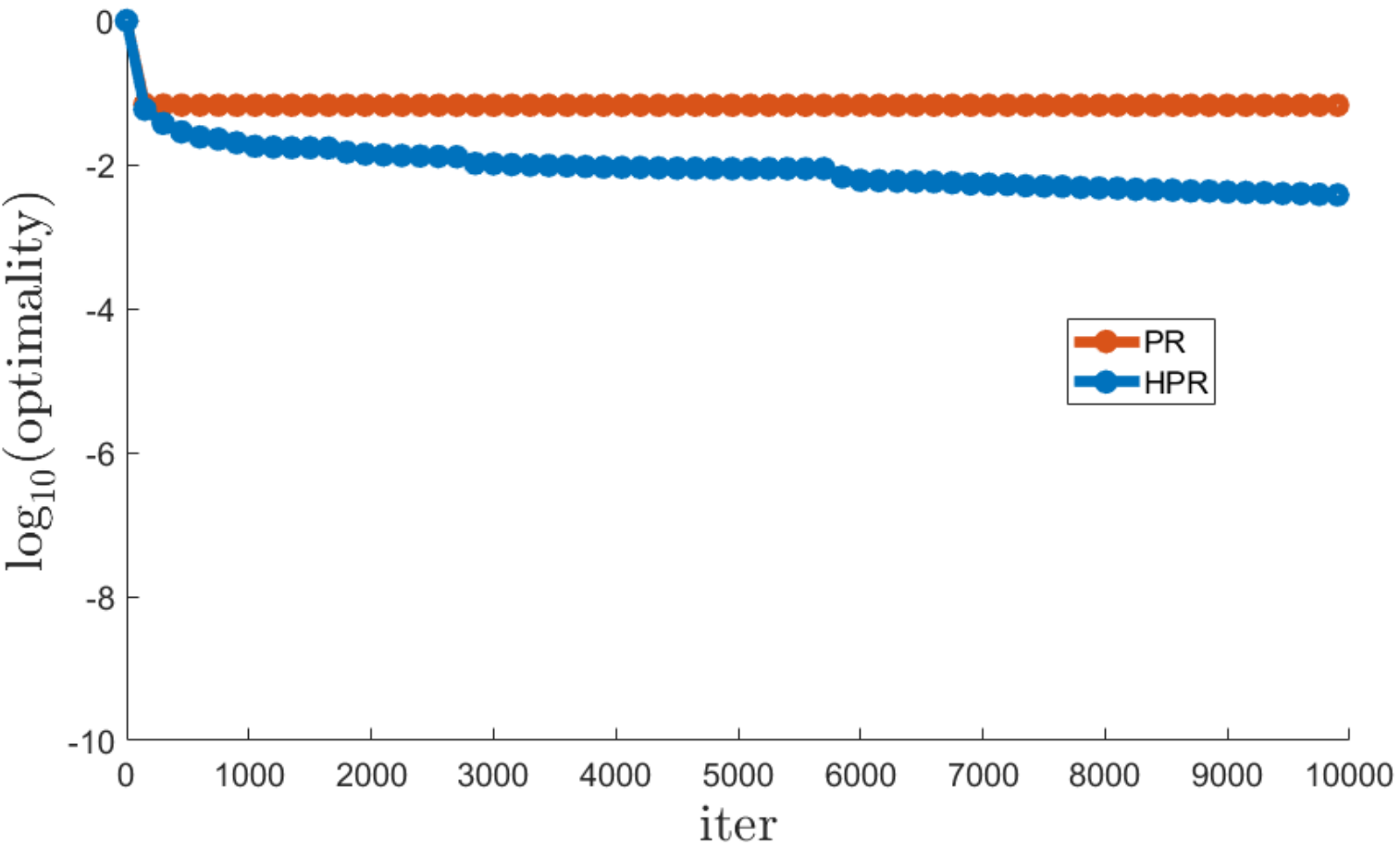
- 20,400变量
- 19,700约束
- 139,000,000非零元



HPR重启策略效果

nug08-3rd问题（预处理后）：

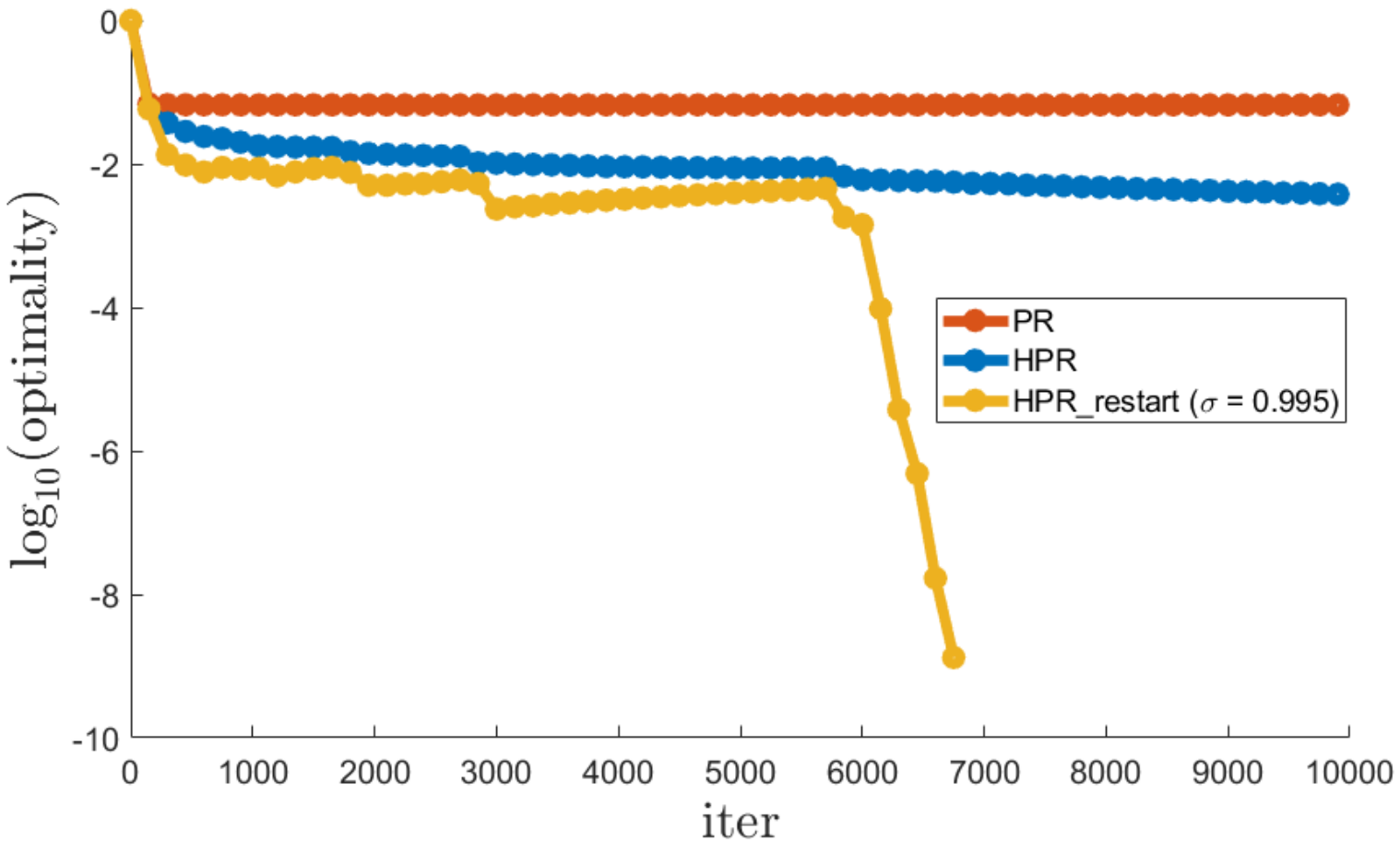
- 20,400变量
- 19,700约束
- 139,000,000非零元



HPR重启策略效果

nug08-3rd问题（预处理后）：

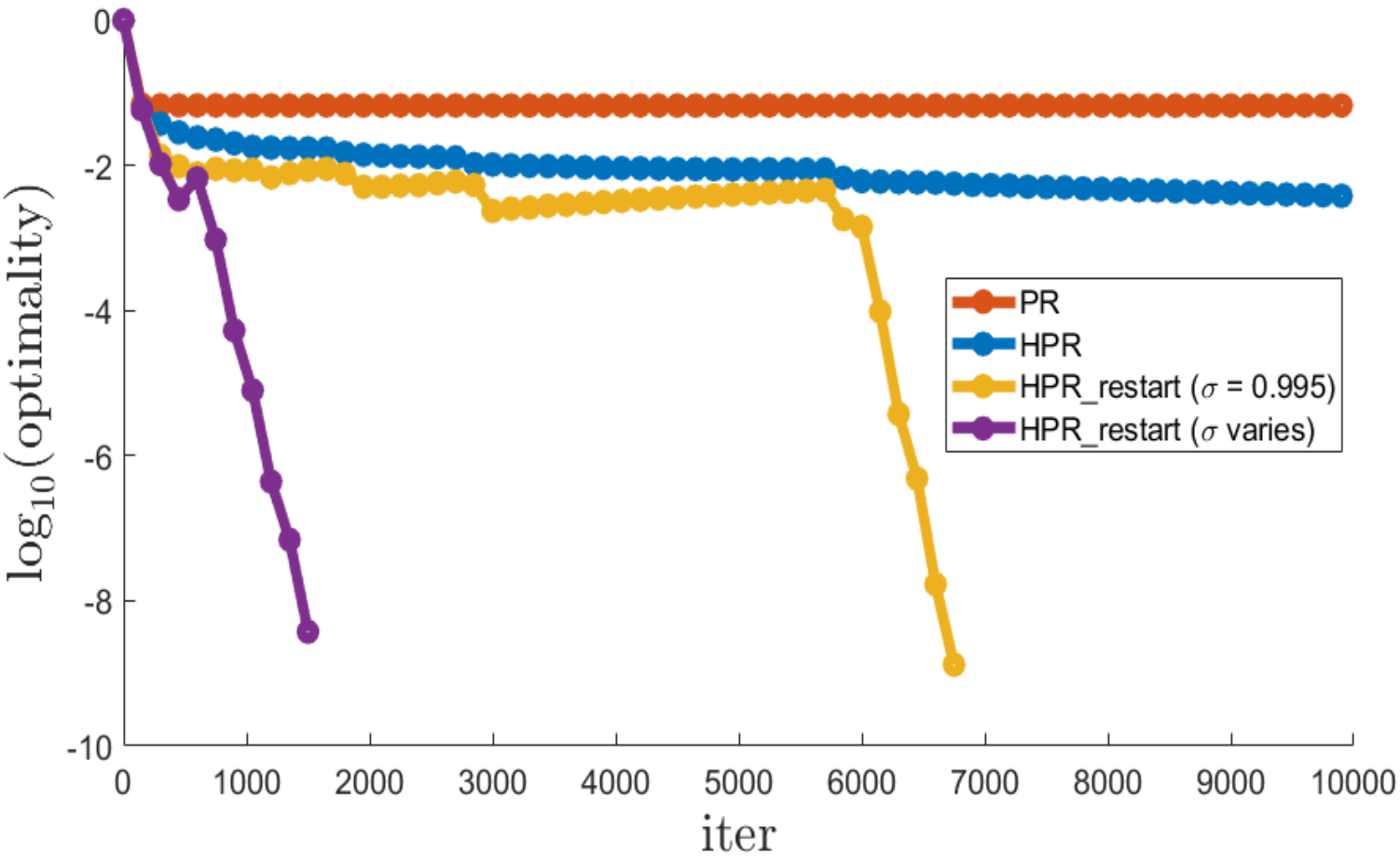
- 20,400 变量
- 19,700 约束
- 139,000,000 非零元



HPR重启策略效果

nug08-3rd问题（预处理后）：

- 20,400 变量
- 19,700 约束
- 139,000,000 非零元



Mittelmann LP基准测试集 (预处理)

表2: 49 个Mittelmann LP基准测试集实例的数值性能表现 (使用 Gurobi 预处理)

| 精度 | 10^{-4} | | 10^{-6} | | 10^{-8} | |
|-----------|-----------|----|-----------|----|-----------|----|
| 求解器 | SGM10 | 可解 | SGM10 | 可解 | SGM10 | 可解 |
| cuPDLP.jl | 60.0 | 46 | 118.6 | 45 | 220.6 | 43 |
| HPR-LP.jl | 17.4 | 49 | 31.8 | 49 | 59.4 | 48 |

- HPR-LP.jl 比 cuPDLP.jl 多解决了 3 - 5 个问题;
- SGM10加速比分别为: 3.45 倍 (10^{-4})、3.73 倍 (10^{-6})和 3.71 倍 (10^{-8})。

Mittelmann LP基准测试集 (未预处理)

表3: 49 个Mittelmann LP基准测试集实例的数值性能表现 (未预处理)

| 精度 | 10^{-4} | | 10^{-6} | | 10^{-8} | |
|-----------|-----------|----|-----------|----|-----------|----|
| 求解器 | SGM10 | 可解 | SGM10 | 可解 | SGM10 | 可解 |
| cuPDLP.jl | 76.9 | 42 | 156.2 | 41 | 277.9 | 40 |
| HPR-LP.jl | 30.2 | 47 | 69.1 | 44 | 103.8 | 43 |

- HPR-LP.jl 比 cuPDLP.jl 多解决了 3 - 5 个问题；
- SGM10加速比分别为：2.55 倍 (10^{-4})、2.26 倍 (10^{-6})和 2.68 倍 (10^{-8})。

MIP松弛 (预处理)

表4：380个 MIP 松弛实例的数值性能表现（预处理）

| 精度 | 10^{-4} | | 10^{-6} | | 10^{-8} | |
|-----------|-----------|-----|-----------|-----|-----------|-----|
| 求解器 | SGM10 | 可解 | SGM10 | 可解 | SGM10 | 可解 |
| cuPDLP.jl | 9.6 | 373 | 18.6 | 370 | 28.4 | 363 |
| HPR-LP.jl | 5.1 | 373 | 8.3 | 370 | 11.9 | 370 |

- 在 10^{-8} 精度下，HPR-LP.jl 比 cuPDLP.jl 多解决了 7 个问题；
- SGM10 加速比分别为：1.88 倍 (10^{-4})、2.24 倍 (10^{-6}) 和 2.39 倍 (10^{-8})。

MIP松弛 (未预处理)

表5：380个 MIP 松弛实例的数值性能表现（未预处理）

| 精度 | 10^{-4} | | 10^{-6} | | 10^{-8} | |
|-----------|-----------|-----|-----------|-----|-----------|-----|
| 求解器 | SGM10 | 可解 | SGM10 | 可解 | SGM10 | 可解 |
| cuPDLP.jl | 14.3 | 372 | 25.0 | 366 | 36.3 | 359 |
| HPR-LP.jl | 6.9 | 376 | 11.6 | 371 | 17.9 | 363 |

- 在 10^{-8} 精度下，HPR-LP.jl 比 cuPDLP.jl 多解决了 4 个问题；
- SGM10 加速比分别为：2.07 倍 (10^{-4})、2.16 倍 (10^{-6}) 和 2.03 倍 (10^{-8})。

QAP問題

表6: 20个 QAP 实例的数值性能表现 (预处理)

| 精度 | 10^{-4} | | 10^{-6} | | 10^{-8} | |
|-------|-----------|-----------|-----------|-----------|-----------|-----------|
| 求解器 | HPR-LP.jl | cuPDLP.jl | HPR-LP.jl | cuPDLP.jl | HPR-LP.jl | cuPDLP.jl |
| SGM10 | 2.9 | 12.7 | 8.8 | 60.0 | 60.2 | 343.1 |

- SGM10加速比分别为: 4.38 倍 (10^{-4})、6.82倍 (10^{-6})和 5.70 倍 (10^{-8})。

表7: 20个 QAP 实例的数值性能表现 (未预处理)

| 精度 | 10^{-4} | | 10^{-6} | | 10^{-8} | |
|-------|-----------|-----------|-----------|-----------|-----------|-----------|
| 求解器 | HPR-LP.jl | cuPDLP.jl | HPR-LP.jl | cuPDLP.jl | HPR-LP.jl | cuPDLP.jl |
| SGM10 | 18.9 | 43.9 | 150.7 | 342.4 | 1246.4 | 3202.5 |

- SGM10加速比分别为: 2.32 倍 (10^{-4})、2.27倍 (10^{-6})和 2.57 倍 (10^{-8})。

ZIB問題 (zib03)

| 矩阵A的维数 | 行 | 列 | 非零元个数 |
|--------|------------|------------|-------------|
| 预处理后 | 19,701,908 | 29,069,187 | 104,300,584 |
| 未预处理 | 19,731,970 | 29,128,799 | 104,422,573 |

- ✓ 商业线性规划求解器 **COPT** 在 AMD Ryzen 9 5900X 上求解这个实例用了 **16.5h**。²⁰

表8：“zib03” 实例的求解时间 (秒)

| 精度 | 10^{-4} | | 10^{-6} | | 10^{-8} | |
|------|-----------|-----------|-----------|-----------|-----------|-----------|
| 求解器 | HPR-LP.jl | cuPDLP.jl | HPR-LP.jl | cuPDLP.jl | HPR-LP.jl | cuPDLP.jl |
| 预处理 | 273.8 | 351.9 | 1317.2 | 1634.6 | 3685.8 | 16462.2 |
| 未预处理 | 154.2 | 237.7 | 1063.6 | 1963.9 | 4865.3 | 19746.4 |

SGM10加速比：
 ← 4.47 倍
 ← 4.06 倍

²⁰Lu, Yang, Hu, Huangfu, Liu, Liu, Ye, Zhang, Ge. arXiv preprint arXiv:2312.14832 (2023).

Gurobi数值结果

表9：6个Mittelmann LP基准测试实例的数值性能表现
(Gurobi、32线程、预处理、精度： 10^{-8} 、时间限制：15K秒)

| 实例 | 行数 | 列数 | 非零元 | HPR-LP.jl | Barrier | Primal Simplex | Dual Simplex |
|-------------------|------------|------------|------------|-----------|---------------|----------------|--------------|
| square41 | 1,754 | 23,828 | 4,336,554 | 93.09 | 1.55 | 2.89 | 2.22 |
| physiciansched3-3 | 68,149 | 16,275 | 415,175 | 77.53 | 5.52 | 40.57 | 34.98 |
| degma | 185,501 | 659,415 | 8,127,528 | 49.32 | 60.15 | 15000 | 15000 |
| dlr2 | 2,565,754 | 2,441,978 | 8,904,144 | 226.1 | 570.79 | 15000 | 15000 |
| thk_48 | 4,229,611 | 6,339,391 | 22,790,807 | 362.62 | 9366.02 | 15000 | 15000 |
| Dual2_5000 | 30,000,600 | 33,050,602 | 93,001,800 | 61.49 | out of memory | 15000 | 7291.77 |

与遍历PR (Ergodic PR, EPR) 对比²¹

算法5. 求解LP的EPR算法

输入: 选择 $\mathcal{T}_1 (\geq 0)$ 使得 $\mathcal{T}_1 + AA^* > 0$ 以及 $w^0 = (y^0, z^0, x^0) \in D \times \mathbb{R}^n \times \mathbb{R}^n$.
 令 $\sigma > 0$.

$k = 0, 1, \dots,$

1. $\bar{w}^k = \text{UpdateStep}(w^k, \mathcal{T}_1, \sigma)$:

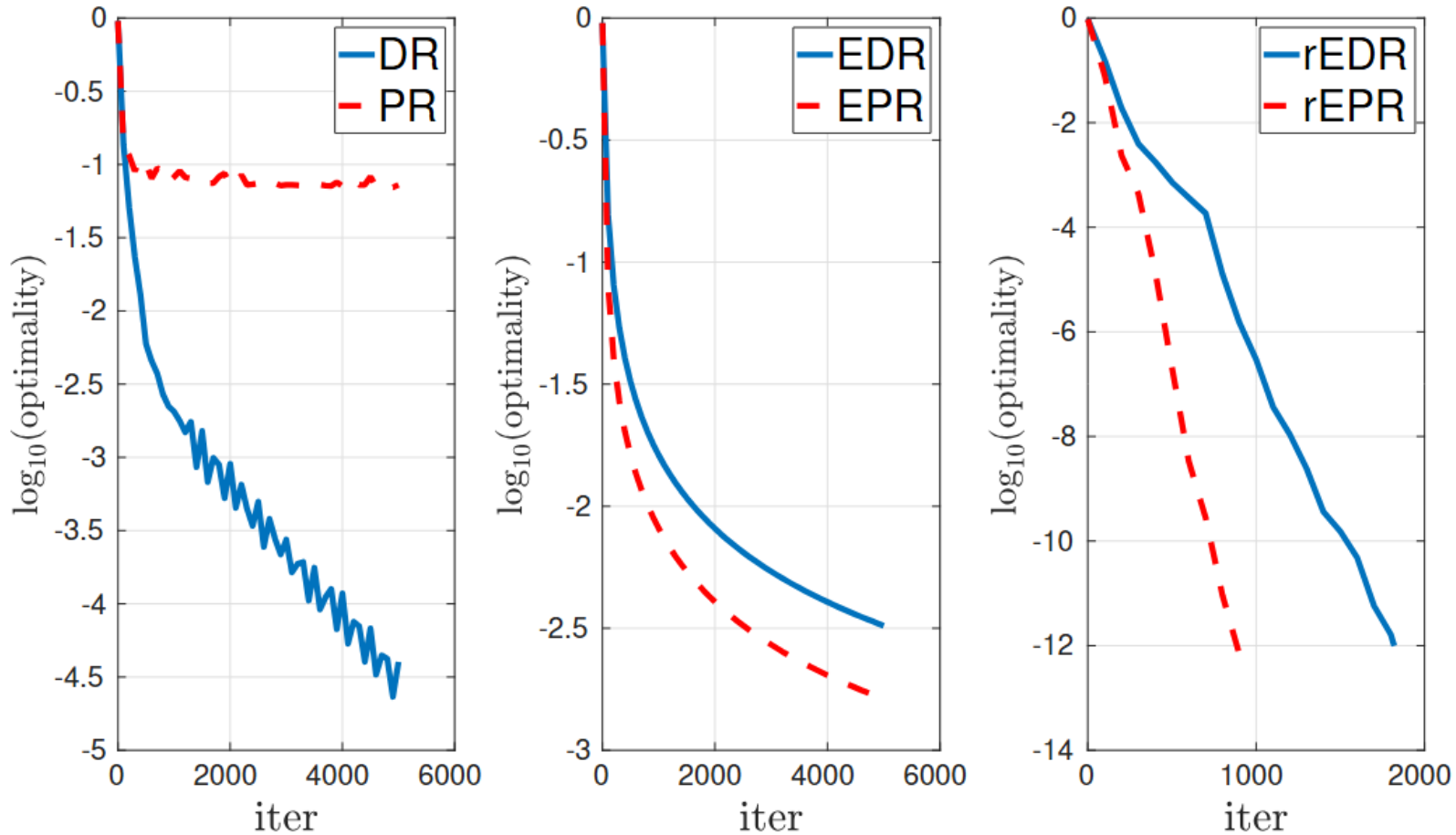
$$\begin{cases} \bar{z}^k = \operatorname{argmin}_{z \in \mathbb{R}^n} \left\{ L_{\sigma}^{LP}(y^k, z; x^k) + \frac{\sigma}{2} \|z - z^k\|_{\mathcal{T}_2}^2 \right\} \\ \bar{x}^k = x^k + \sigma(A^* y^k + \bar{z}^k - c) \\ \bar{y}^k = \operatorname{argmin}_{y \in \mathbb{R}^n} \left\{ L_{\sigma}^{LP}(y, \bar{z}^k; \bar{x}^k) + \frac{\sigma}{2} \|y - y^k\|_{\mathcal{T}_1}^2 \right\} \end{cases}$$

2. $w^{k+1} = 2\bar{w}^k - w^k$ $[w^{k+1} = \bar{w}^k: \text{Douglas-Rachford (DR)} (\rho = 1)]$

输出: $\bar{w}_a^k = \frac{1}{k+1} \sum_{t=0}^k \bar{w}^t$

²¹Chen, Sun, Yuan, Zhang, and Zhao. "Peaceman-Rachford Splitting Method Converges Ergodically for Solving Convex Optimization Problems." *arXiv preprint arXiv:2501.07807* (2025).

EPR和重启EPR (restarted EPR, rEPR) 性能对比



不同算法 ($\sigma = 1$) 在 Mittelmann LP 基准测试的 “ex10” 实例上性能比较

cuPDLP, rEPR和HPR-LP性能比较

表 10: ADMM 类型 LP 求解器在 49 个 Mittelmann LP 基准测试实例上的性能比较
(未预处理, 精度: 10^{-8} , 时间限制: 3600s)

| 算法 | SGM10 | Scaled SGM10 | 求解问题个数 |
|-----------|--------|--------------|--------|
| cuPDLP.jl | 205.49 | 2.48 | 38 |
| rEPR.jl | 94.04 | 1.14 | 42 |
| HPR-LP.jl | 82.89 | 1.00 | 42 |

5. 结论与展望

- 我们使用 Halpern 迭代提出了具有 $O(1/k)$ 迭代复杂度的加速 dPPM。
- 基于 pADMM 与 dPPM 之间的等价性，我们推导出了针对 KKT 残差和目标误差具有 $O(1/k)$ 迭代复杂度的加速 pADMM。
- 我们介绍了 HPR-LP：一种用于求解线性规划（LP）的 HPR 方法的实现。
- 在 SGM10 中，在 10^{-8} 的容差下，HPR-LP.jl 与 cuPDLP.jl 相比，在使用预处理的情况下实现了 2.39 倍到 5.70 倍的加速（在不使用预处理的情况下为 2.03 倍到 4.06 倍）。

參考文献

- Kaihuang Chen, Defeng S., Yancheng Yuan, Guojun Zhang, and Xinyuan Zhao. “HPR-LP: An implementation of an HPR method for solving linear programming.” arXiv:2408.12179 (August 2024; Revised March 2025).
- O’donoghue, Brendan, Eric Chu, Neal Parikh, and Stephen Boyd. “Conic optimization via operator splitting and homogeneous self-dual embedding.” *Journal of Optimization Theory and Applications* 169 (2016): 1042-1068.
- Lin, Tianyi, Shiqian Ma, Yinyu Ye, and Shuzhong Zhang. “An ADMM-based interior-point method for large-scale linear programming.” *Optimization Methods and Software* 36, no. 2-3 (2021): 389-424.
- Deng, Qi, Qing Feng, Wenzhi Gao, Dongdong Ge, Bo Jiang, Yuntian Jiang, Jingsong Liu et al. “An enhanced alternating direction method of multipliers-based interior point method for linear and conic optimization.” *INFORMS Journal on Computing* (2024).

參考文献

- Basu, Kinjal, Amol Ghoting, Rahul Mazumder, and Yao Pan. “ECLIPSE: An extreme-scale linear program solver for web-applications.” In International Conference on Machine Learning, pp. 704-714. PMLR, 2020.
- Applegate, David, et al. “Practical large-scale linear programming using primal-dual hybrid gradient.” Advances in Neural Information Processing Systems 34 (2021): 20243-20257.
- Sun, Defeng, Yancheng Yuan, Guojun Zhang, and Xinyuan Zhao. “Accelerating preconditioned ADMM via degenerate proximal point mappings.” SIAM Journal on Optimization 35:2 (2025) 1165–1193.
- Xiao, Yunhai, Liang Chen, and Donghui Li. “A generalized alternating direction method of multipliers with semi-proximal terms for convex composite conic programming.” Mathematical Programming Computation 10 (2018): 533-555.

参考文献

- Glowinski, Roland, and Americo Marroco. "Sur l'approximation, par éléments finis d'ordre un, et la résolution, par pénalisation-dualité d'une classe de problèmes de Dirichlet non linéaires." *Revue française d'automatique, informatique, recherche opérationnelle. Analyse numérique* 9, no. R2 (1975): 41-76.
- Gabay, Daniel, and Bertrand Mercier. "A dual algorithm for the solution of nonlinear variational problems via finite element approximation." *Computers & mathematics with applications* 2, no. 1 (1976): 17-40.
- Eckstein, Jonathan, and Dimitri P. Bertsekas. "On the Douglas—Rachford splitting method and the proximal point algorithm for maximal monotone operators." *Mathematical programming* 55 (1992): 293-318.
- Fazel, Maryam, Ting Kei Pong, Defeng Sun, and Paul Tseng. "Hankel matrix rank minimization with applications to system identification and realization." *SIAM Journal on Matrix Analysis and Applications* 34, no. 3 (2013): 946-977.

參考文献

- Monteiro, Renato DC, and Benar F. Svaiter. “Iteration-complexity of block-decomposition algorithms and the alternating direction method of multipliers.” *SIAM Journal on Optimization* 23, no. 1 (2013): 475-507.
- Davis, Damek, and Wotao Yin. “Convergence rate analysis of several splitting schemes.” *Splitting methods in communication, imaging, science, and engineering* (2016): 115-163.
- Cui, Ying, Xudong Li, Defeng Sun, and Kim-Chuan Toh. “On the convergence properties of a majorized alternating direction method of multipliers for linearly constrained convex optimization problems with coupled objective functions.” *Journal of Optimization Theory and Applications* 169 (2016): 1013-1041.
- Chambolle, Antonin, and Thomas Pock. “On the ergodic convergence rates of a first-order primal-dual algorithm.” *Mathematical Programming* 159, (2016): 253-287.
- Chambolle, Antonin, and Thomas Pock. “A first-order primal-dual algorithm for convex problems with applications to imaging.” *Journal of mathematical imaging and vision* 40 (2011): 120-145.

參考文献

- Bredies, Kristian, Enis Chenchene, Dirk A. Lorenz, and Emanuele Naldi. "Degenerate preconditioned proximal point algorithms." *SIAM Journal on Optimization* 32, no. 3 (2022): 2376-2401.
- Halpern, Benjamin. "Fixed points of nonexpanding maps." (1967): 957-961.
- Lieder, Felix. "On the convergence rate of the Halpern-iteration." *Optimization letters* 15, no. 2 (2021): 405-418.
- Brézis, Haim, and Pierre Louis Lions. “Produits infinis de résolvantes.” *Israel Journal of Mathematics* 29 (1978): 329-345.
- Zhang, Guojun, Zhexuan Gu, Yancheng Yuan, and Defeng Sun. “HOT: An efficient Halpern accelerating algorithm for optimal transport problems.” *IEEE Transactions on Pattern Analysis and Machine Intelligence* (2025), in print. arXiv:2408.00598 (August 2024).

參考文献

- Lu, Haihao, and Jinwen Yang. "cuPDLP.jl: A GPU implementation of restarted primal-dual hybrid gradient for linear programming in Julia." arXiv preprint arXiv:2311.12180 (2023).
- Applegate, David, Mateo Díaz, Oliver Hinder, Haihao Lu, Miles Lubin, Brendan O'Donoghue, and Warren Schudy. "Practical large-scale linear programming using primal-dual hybrid gradient." Advances in Neural Information Processing Systems 34 (2021): 20243-20257.
- Lu, Haihao, Jinwen Yang, Haodong Hu, Qi Huangfu, Jinsong Liu, Tianhao Liu, Yinyu Ye, Chuwen Zhang, and Dongdong Ge. "cuPDLP-C: A strengthened implementation of cuPDLP for linear programming by C language." arXiv preprint arXiv:2312.14832 (2023).
- Chen, Kaihuang, Defeng Sun, Yancheng Yuan, Guojun Zhang, and Xinyuan Zhao. "Peaceman-Rachford Splitting Method Converges Ergodically for Solving Convex Optimization Problems." arXiv preprint arXiv:2501.07807 (2025).



感谢聆听 Q & A



DEPARTMENT OF APPLIED MATHEMATICS

應用數學系



THE HONG KONG
POLYTECHNIC UNIVERSITY
香港理工大學

Opening Minds • Shaping the Future
啟迪思維 • 成就未來